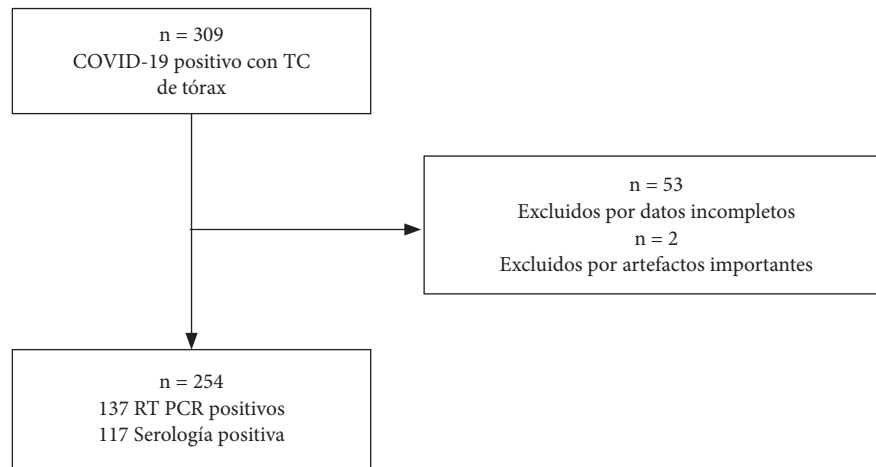


MATERIAL SUPLEMENTARIO

Anexo 1: Flujoograma de selección de pacientes incluidos en el estudio.



TC: tomografía computarizada, RT-PCR: reacción en cadena de la polimerasa con transcriptasa reversa

Anexo 2. Análisis de laboratorio al ingreso.

Variable	Total (254 casos)	Fallecidos (95 casos)	Sobrevivientes (159 casos)	Valor de p ^a
Leucocitos (x10 ³ /μL)	9,6 (7,3 - 13,0)	10,9 (8,5 - 15,2)	9,1 (6,7 - 11,2)	<0,001
Linfocitos (x10 ³ /μL)	0,9 (0,6 - 1,3)	0,8 (0,5 - 1,0)	1 (0,7 - 1,5)	<0,001
AST (U/L)	54 (40,0 - 79,0)	54 (41,0 - 75,0)	54,5 (36,5 - 82,5)	0,709
ALT (U/L)	55 (36,0 - 95,0)	51 (31,0 - 78,0)	61,5 (38,0 - 101,0)	0,064
DHL (U/L)	361 (297 - 475)	481 (363 - 570)	325 (266 - 390)	<0,001
TP (s)	10,9 (10,5 - 11,7)	11,1 (10,6 - 11,8)	10,9 (10,5 - 11,5)	0,035
TTP (s)	30,7 (27,9 - 34,1)	32,4 (29,0 - 36,3)	30 (26,7 - 32,8)	<0,001
Creatinina (mg/dl)	0,7 (0,6 - 0,9)	0,8 (0,7 - 1,1)	0,7 (0,6 - 0,9)	<0,001
PCR (mg/dl)	15,1 (7,8 - 26,5)	21,6 (12,8 - 29,6)	11,8 (6,4 - 20,8)	<0,001
Ferritina sérica (ng/ml)	1010 (557 - 1593)	1214 (869 - 1729)	814 (443 - 1455)	0,001
Dímero D (ug/ml)	1,4 (0,6 - 3,0)	1,9 (0,9 - 6,3)	1 (0,5 - 2,1)	<0,001

^a Prueba de suma de rangos de Wilcoxon.

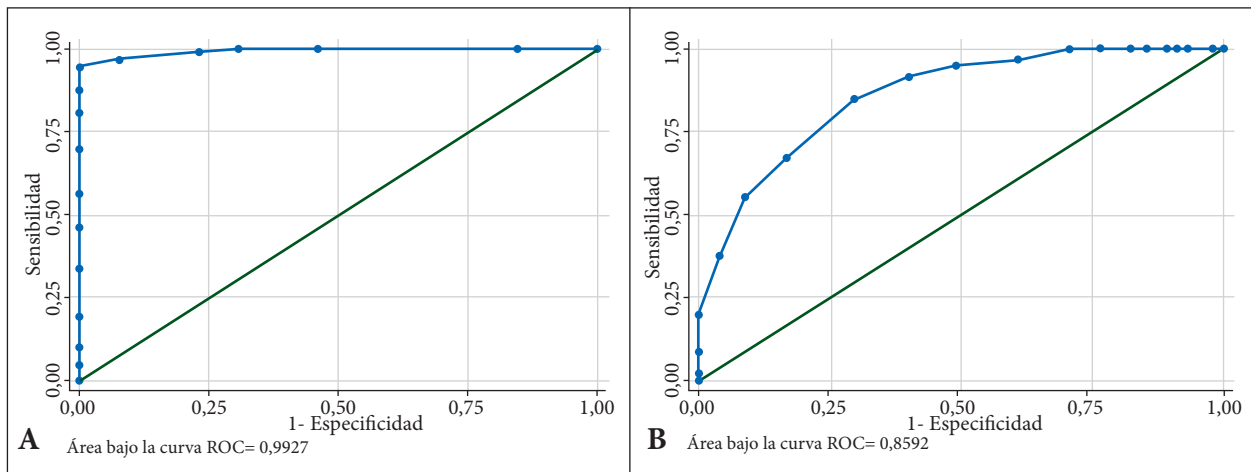
AST: aspartato aminotransferasa, ALT: alanina aminotransferasa, DHL: deshidrogenasa láctica, TP: tiempo de protrombina, TTP: tiempo de tromboplastina parcial activada, PCR: proteína C reactiva.

Anexo 3. Extensión del compromiso pulmonar en la tomografía.

Hallazgos tomográficos	Total (254 casos) n (%)	Fallecidos (95 casos) n (%)	Sobrevivientes (159 casos) n (%)	Valor de p
Compromiso pulmonar				
Bilateral	250 (98,4)	95 (100,0)	155 (97,5)	NC
Derecho	3 (1,2)	0	3 (1,9)	
Izquierdo	1 (0,4)	0	1 (0,6)	
Compromiso lobar				
LSD	14 (5,5)	3 (3,2)	11 (6,9)	0,260 ^b
LMD	8 (3,2)	5 (5,3)	3 (1,9)	0,150 ^b
LID	156 (61,4)	63 (66,3)	93 (58,5)	0,215 ^a
LSI	4 (1,6)	0	4 (2,5)	NC
LII	72 (28,3)	24 (25,2)	48 (30,2)	0,399 ^a
N° de lóbulos comprometidos				
5	240 (94,5)	95 (100,0)	145 (91,2)	NC
4	4 (1,6)	0	4 (2,5)	
3	3 (1,2)	0	3 (1,9)	
2	4 (1,5)	0	4 (2,5)	
1	3 (1,2)	0	3 (1,9)	

^aPrueba de Chi cuadrado, ^bPrueba exacta de Fisher

LSD: lóbulo superior derecho, LMD: lóbulo medio derecho, LID: lóbulo inferior derecho, LSI: lóbulo superior izquierdo, LII: lóbulo inferior izquierdo, NC: no calculado.



Anexo 4. Curvas ROC. **A)** puntuación tomográfica de severidad (PTS) para el diagnóstico de casos moderados de COVID-19, área bajo la curva (ABC) de 0,99 (IC 95%: 0,98-1,00); un punto de corte de 7 mostró sensibilidad de 94,4% y especificidad de 100%. **B)** PTS para el diagnóstico de casos severos, ABC de 0,86 (IC95%: 0,82-0,90); un punto de corte de 13 mostró una sensibilidad de 84,9% y especificidad de 70,6%.